

水たき下流段落部の流れについて

山口大学 正 亀田芳蔵
 三谷建設 " 寺岡建治
 山口大学 " 斎藤 隆

木門、カルバートなどの下流部における洗掘を防止する目的で水たきが設けられるが、これらの水理構造物自体の性能および河道維持に障害となる可能性の限界であれば、水たき下流部の洗掘は容認される。しかしながら、洗掘を量的に精度よく予測できることが技術の前提条件となる。局所洗掘は洗掘の進行とそれに伴なう流れ特性の変化とか底層に関連した複雑な現象であるが、水たき下流部の洗掘において噴出流の洗掘方向への弯曲が洗掘の進行に重要な役割をもつことを前報で明らかにした。水たき下流部の洗掘に關しても同様に洗掘方向への流れの弯曲が重要な役割をもつと考えられるので、境界条件を単純化して水たき下流段落を浅り、段落床面に沿う流れの特性について実験的に検討を行なつた。

実験に用いた水槽は幅20cm、深さ20cm、長さ5mの両面有孔かラス張りの鉄枠製のものである。水たきは厚さ10mm、長さ $l=5, 10, 20$ cmの3種類のアクリル樹脂板である。水たきおよび段落床面の粗度として用いた砂は中央粒径が0.13, 0.25mmのほぼ均一な砂である。

流れの測定には内径1.9mm、外径2.2mmのステンレス管の先端を厚さ0.2mmの矩形断面に研磨仕上げしたもので製作したピトー管を用いた。

実験は噴出厚 $B_0=1.07$ cm、噴出流速 $U_0=200$ cm/sとし、噴出孔中心から段落床面までの距離を $D/B_0=2.35 \sim 6.1$ と変え、水たき長さおよび粗度を各3通り対して行なつた。

図-2は水たき下流端より湾曲し段落床面に衝突後形成される流れの速度分布の一例である。衝突直後の流れはさわめて複雑な流速分布をしているが、壁面近傍の流れは加速されて最大流速は下流ほど床面に近くになっている。 $x=20 \sim 30$ cmで最大流速の値がより変化せず、その下流で最大流速が減少し従義の壁面噴流と同様の速度分布となつている。境界層外縁の流速の変化状況から、再接觸後の流れは加速流域、定速流域ならびに減速流域に分けることができる。図-3は定速流域より下流にかけ最大流速の変化をプロットしたものである。減速流域にかけ最大流速の逆数は $x^{\frac{1}{2}}$ で減少している。

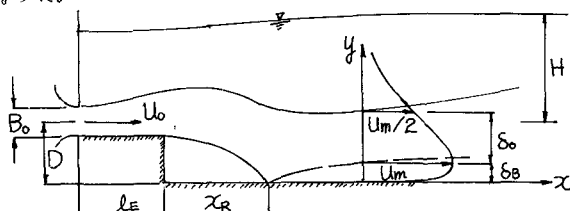
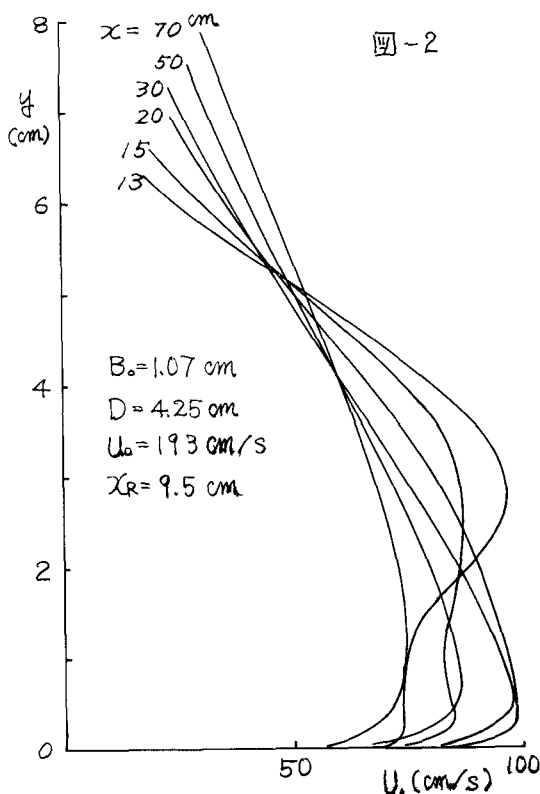


図-1



湾曲噴流による壁面噴流の最大流速の変化と比較して、本式を長さにより補正項を K_3 として実験式化すると次式となる。

$$\frac{U_m}{U_0} = K_{u1} \cdot K_{u2} \cdot K_{u3} \sqrt{15.4 \left(\frac{x}{B_0} + 5.9 \right)} \quad (1)$$

$$\left. \begin{aligned} K_{u1} &= 12.4 / \left(\frac{D}{B_0} + 1.9 \right)^{1/8} \\ K_{u2} &= A \left(\frac{B_0}{D} \right)^2 / \left\{ 4 \left(\frac{D}{B_0} \right) + 0.005 \right\} \\ A &= 0.176 \log \left(\frac{D}{B_0} \right) + 0.553 \\ K_{u3} &= \{ 0.011 \sqrt{\frac{D}{B_0}} \left(\frac{B_0}{D} - 0.5 \right) + 0.1 \}^{-1} \end{aligned} \right\} \quad (2)$$

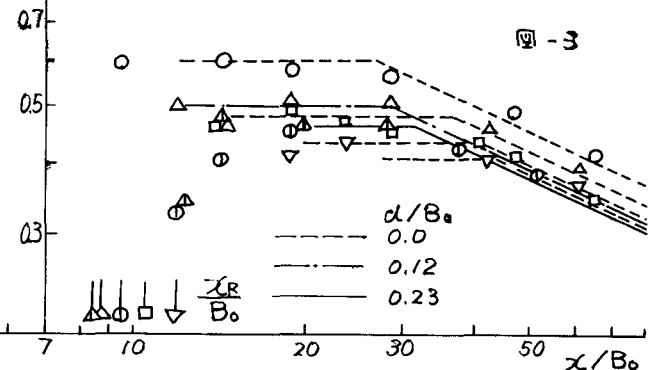


図-3

図-4は定流速域における最大流速 U_m/U_0 と D/B_0 に対するプロットシルである。湾曲噴流による壁面噴流の U_m/U_0 を基準 K_1 と D/B_0 による変化を実験式化すると次式となる。

$$\frac{U_m}{U_0} = \sqrt{\frac{A+0.5}{A+D/B_0}} \quad (3)$$

$$A = 10^{-0.128 \frac{D}{B_0}} + 0.417 + 0.39 \quad (4)$$

図-5は主流部流れの代表寸法 B_0 の流下距離による変化をプロットしたもので図の実線は湾曲噴流による壁面噴流の拡散についての実験式である。

$$\frac{B_0}{B_0} = 0.068 \left(\frac{x}{B_0} + 5K_{p1} + K_{p2} + K_{p3} \right) \quad (5)$$

$$\left. \begin{aligned} K_{p1} &= 1.5 \left(\frac{B_0}{D} + 0.5 \right)^2 / \left\{ \left(\frac{B_0}{D} + 0.5 \right)^2 + 0.001 \right\} \\ K_{p2} &= 7.5 \left\{ 2 \left(\frac{B_0}{D} \right)^2 / \left(\frac{B_0}{D} + 0.001 \right) - 1.0 \right\} \\ K_{p3} &= \sqrt{ \left(229 \frac{D}{B_0} + 46.4 \right) \frac{D}{B_0} } \end{aligned} \right\} \quad (6)$$

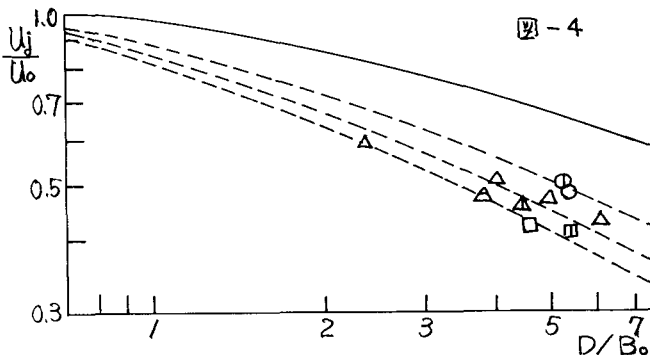


図-4

図-6は段落床面に色素を流して測定したのはく離領域の大ささで、図には湾曲噴流の段落境界への再接觸位置を記入してある。実験結果の平均値は湾曲噴流の再接觸位置の実験範囲の大きさとろにあらかじめ、全体的には同一級でいるとみてよい。

定速流域と減速流域との境界位置は式(1)と式(3)の底座を差して左方移として与えられる。

加速流域と定速流域との境界は速度分布が複雑であるのでより詳細な速度分布を測定しなければならない。

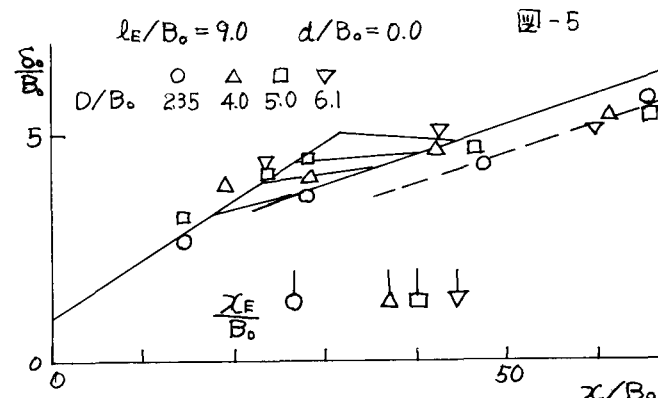


図-5

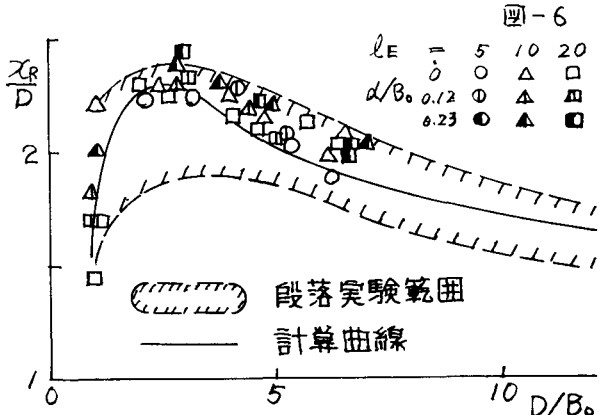


図-6